

- [3] Masters B. J., Gorey E. F. — J. Appl. Phys., 1978, v. 49, N 5, p. 2717—2724.  
[4] Minnear R. L., Nelson D. G., Gibbons J. F. — J. Appl. Phys., 1972, v. 43, N 8, p. 3468—3480.  
[5] Baruch P., Monnier J., Blanchard B., Castaing C. — Appl. Phys. Lett., 1975, p. 77—80.  
[6] Baruch P. — Inst. Phys. Conf. Ser., 1977, v. 31, N 1, p. 126—143.  
[7] Борисенко В. Е., Дутов А. Г., Колесов В. А., Лобанова К. Е. — ФТП, 1984, т. 18, в. 10, с. 1888—1890.  
[8] Риссель Х., Руге И. Ионная имплантация. М., 1983. 360 с.  
[9] Зорин В. И., Павлов П. В., Тетельбаум Д. И. Ионное легирование полупроводников. М., 1975. 128 с.  
[10] Dearnaley G., Freeman J. H., Gard G. A., Wilkins M. A. — Canad. J. Phys., 1968, v. 4, N 2, p. 587—590.  
[11] Вавилов В. С., Кив А. Е., Ниязова О. Р. Механизмы образования и миграции дефектов в полупроводниках. М., 1981. 368 с.  
[12] Калашников Н. П., Ремизович В. С., Рязанов М. И. Столкновения быстрых заряженных частиц в твердых телах. М., 1980. 272 с.  
[13] Кудряшов Н. А., Мазур Е. А. — В кн.: Влияние ионизирующих излучений на свойства диэлектриков и полупроводников. М., 1979. с. 30—40.  
[14] Корнеева Л. А., Мазур Е. А., Руденко А. И. — ФТП, 1986, т. 20, в. 11, с. 2023—2028.

Московский  
инженерно-физический институт

Получено 27.10.1987  
Принято к печати 16.05.1988

---

ФТП, том 22, вып. 10, 1988

## ВЫСОКОЧАСТОТНАЯ ПРОВОДИМОСТЬ НЕОДНОРОДНЫХ ПОЛУПРОВОДНИКОВ В КЛАССИЧЕСКИ СИЛЬНОМ МАГНИТНОМ ПОЛЕ

Герман А. И., Чайковский И. А.

Влияние неоднородного распределения носителей по образцу на гальваномагнитные эффекты в полупроводниках было предметом изучения многих авторов [<sup>1—4</sup>]. В [<sup>1</sup>] было показано, что при включении сильного магнитного поля, когда  $\beta = \mu H / C \gg 1$  ( $\mu$  — подвижность носителей,  $H$  — напряженность магнитного поля), поправка к поперечной электропроводности, связанная с неоднородностями, обратно пропорциональна первой степени  $H$ , в то время как невозмущенная часть электропроводности пропорциональна  $H^{-2}$ . Таким образом, с ростом  $H$  эта поправка может превзойти значение поперечной электропроводности в отсутствие неоднородностей. В [<sup>1</sup>] этот результат был получен в первом порядке теории возмущений по параметру  $\xi = \langle (n(r) - \langle n \rangle)^2 \rangle / \langle n \rangle^2$ ,  $n(r)$  — локальное значение концентрации носителей,  $\langle n \rangle$  — ее среднее значение, вычисленное по области, много большей размера неоднородности. Дальнейший анализ, проведенный в [<sup>2</sup>], показал, что в разложении по параметру  $\xi$  следует учитывать все слагаемые в ряду теории возмущений, так как они все одного порядка по  $\beta$ . Этот вывод принципиален, и последовательное суммирование этого ряда, проведенное в [<sup>3</sup>], показало, что параметром разложения является не  $\xi$ , а величина  $\beta \xi$ , которая в больших полях может превосходить единицу. Итак, ряд по  $\beta \xi$  является асимптотическим, и его суммирование удается провести при учете всех членов ряда соответствующего порядка. Результат работы [<sup>3</sup>] состоит в том, что для трехмерных неоднородностей зависимость поперечной эффективной проводимости от магнитного поля имеет вид  $\sigma_{\perp}^{\text{эфф}} \sim H^{-4/3}$  (закон  $4/3$ ), и она сохраняется также в случае слабых неоднородностей в сильных магнитных полях в полупроводниках с высокой подвижностью.

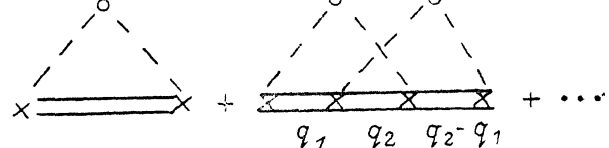
Поведение поперечной проводимости в переменном электрическом поле исследовалось менее подробно. В [<sup>2</sup>] результаты были получены в общем виде без дальнейшего суммирования ряда теории возмущений. В то же время остается невыясненным вопрос о зависимости  $\sigma_{\perp}^{\text{эфф}}(\omega)$  ( $\omega$  — частота переменного электрического поля) от магнитного поля. Можно предположить, что с ростом ча-

стоты  $\omega$ , когда вклад неоднородностей в величину эффективной проводимости уменьшается [5], при некоторых соотношениях между величиной  $\omega\tau_H$  ( $\tau_H$  — время максвелловской релаксации, определяющей частотную дисперсию в полупроводниках с неоднородным распределением концентрации носителей по образцу [2, 5]) и характерными параметрами задачи  $\xi$  и  $\beta$  должна произойти смена зависимости от  $H$ , т. е. переход от зависимости  $\sigma_{\perp}^{\text{эфф}} \sim H^{-\gamma}$  ( $1 < \gamma < 2$ ) к  $\sigma_{\perp}^{\text{эфф}} \sim H^{-2}$ , как в однородном образце. В этой связи определяющим является также то обстоятельство, что переменное электрическое поле разрушает ту часть проводимости поперек  $H$ , которая связана с долговременными корреляциями токов. Существенной здесь является связь частоты переменного электрического поля  $\omega$  со временем  $\tau_0$  прохождения носителем расстояния порядка корреляционной длины в поперечном к полю  $H$  направлении. Согласно [3], величина  $\tau_0 \sim \xi^{-2/3} \beta^{1/3}$ . Расчеты, проведенные далее, подтверждают наличие особых особенностей в полевых и частотных зависимостях  $\sigma_{\perp}^{\text{эфф}}(\omega)$  при  $\omega\tau_0 \gtrless 1$ . Величина  $\sigma_{\perp}^{\text{эфф}}(\omega)$  в переменном электрическом поле важна не только для анализа гальваномагнитных эффектов, но и для изучения распространения волн в электрически неоднородных материалах, где коэффициент поглощения и скорость распространения волны зависят от  $\sigma_{xx}^{\text{эфф}}(\omega, H)$  [6].

Рассмотрим полупроводник, помещенный в переменное электрическое поле  $E = E_0 \sin(\omega t)$  и постоянное магнитное поле  $H$ ,  $E_0 \parallel x$ ,  $H \parallel z$ . Считаем, что в нем имеются хаотически распределенные неоднородности концентрации носителей, характерные размеры которых удовлетворяют соотношениям  $b_0 > r_d$ ,  $l$ ;  $b_0 \ll L$ , где  $L$ ,  $l$ ,  $r_d$  — соответственно размер образца, длина свободного пробега носителей и дебаевский радиус экранирования. При этом можно пользоваться понятием эффективной проводимости:  $\langle j_i \rangle = \sigma_{ik}^{\text{эфф}} \langle E_k \rangle$ , которое следует из закона Ома в локальной форме, а усреднение проводится по области, много большей размеров неоднородностей, но меньшей размеров образца. Тензорный характер  $\sigma_{ik}^{\text{эфф}}$  связан с наличием магнитного поля. Плотность тока  $j$  и напряженность электрического поля  $E$  удовлетворяют уравнениям Максвелла и уравнению непрерывности, в которых все величины зависят от координат. Представляя флюктуирующие в пространстве величины в виде суммы среднего значения и флюктуирующей добавки  $a(r) = \langle a \rangle + \delta a(r)$  и разлагая добавки в ряд Фурье, решаем нашу систему уравнений последовательными итерациями по  $\delta \sigma_{ik}^{\text{эфф}}$ . После проведения преобразований, предложенных в [8], получим для  $\sigma_{ik}^{\text{эфф}}(\omega)$  уравнение

$$q_i \sigma_{ik}^{\text{эфф}}(q) q_k = q_i \langle \sigma_{ik} \rangle q_k - \Sigma, \quad (1)$$

где  $\Sigma$  может быть изображено в виде диаграммного ряда



Здесь двойной линии соответствует полная функция Грина

$$G(q) = \frac{1}{q_i \sigma_{ik}^{\text{эфф}}(q) q_k - \frac{i\omega\epsilon}{4\pi} q^2}, \quad (2)$$

крестик соответствует множитель  $(q_{1x}q_{2y} - q_{1y}q_{2x}) \sigma_{xy}^{q_2 - q_1}$ , пунктирная линия — неприводимый коррелятор  $\langle \dots \rangle_0$ . По всем внутренним линиям производится интегрирование, по индексам — суммирование. В ряду  $\Sigma$  присутствуют только компактные диаграммы. Можно показать, что хорошим приближением является укороченное уравнение (1), где в ряду  $\Sigma$  оставлено только первое слагаемое:

$$q_i \sigma_{ik}^{\text{эфф}}(q) q_k = q_i \langle \sigma_{ik} \rangle q_k + \int d^3 q_1 \frac{[q_1 q]_z^2 \langle \sigma_{xy}^{q_2 - q_1} \sigma_{xy}^{q_1 - q} \rangle_0}{(q_1 \delta \sigma_{ik}^{\text{эфф}}(q) q_1) - i \frac{\omega\epsilon}{4\pi} q^2}. \quad (3)$$

Проведя интегрирование по  $dq_{1z}$  и считая оставшийся интеграл порядка единицы [3], получим уравнение для величины  $S = \sigma_{\perp}^{xy}/\sigma_0$  ( $\sigma_0$  — компонента проводимости  $\sigma_0 = \sigma_{zz}$  вдоль магнитного поля,  $\tau_M = e/4\pi\sigma_0$ )

$$S \simeq \frac{1}{\beta^2} + \frac{\xi}{\beta^2} \frac{1}{\sqrt{1 - i\omega\tau_M} \sqrt{S - i\omega\tau_M}}. \quad (4)$$

При переходе к статическому случаю  $\omega\tau_M \rightarrow 0$  уравнение (4) дает для  $S$  результат, совпадающий с [3], т. е. закон  $4/3$ :  $\sigma_{\perp}^{xy} \sim H^{-4/3}$ . В области частот  $\omega\tau_M \ll \xi^{2/3}\beta^{-4/3}$  имеем

$$\begin{aligned} S_1 &= \operatorname{Re} S \simeq \frac{\xi^{2/3}}{\beta^{4/3}} \left[ 1 - \frac{4}{9} \omega^2 \tau_M^2 \beta^{8/3} \xi^{-4/3} \right], \\ S_2 &= \operatorname{Im} S \simeq 1/3 \omega\tau_M. \end{aligned} \quad (5)$$

В случае  $\xi^{2/3}\beta^{-4/3} < \omega\tau_M \ll 1$

$$\begin{aligned} S_1 &\simeq \frac{1}{\beta^2} + \frac{1}{2\beta^2} \frac{\xi}{\sqrt{\omega\tau_M}}, \\ S_2 &\simeq \frac{1}{2\beta^2} \frac{\xi}{\sqrt{\omega\tau_M}}. \end{aligned} \quad (6)$$

Для больших частот  $\omega\tau_M \gg 1$  имеем

$$\begin{aligned} S_1 &\simeq \frac{1}{\beta^2} \left[ 1 + \frac{\xi}{2\omega\tau_M} \right], \\ S_2 &\simeq \frac{\xi}{\beta^2} \frac{1}{\omega\tau_M}. \end{aligned} \quad (7)$$

Как видно, закон  $4/3$  сменяется зависимостью  $\sim H^{-2}$  в области частот  $\omega \sim \xi^{2/3}\beta^{-4/3}\tau_M^{-1}$ , т. е. при частотах, гораздо меньших  $\tau_M^{-1}$ .

#### Л и т е р а т у р а

- [1] Herring C. — J. Appl. Phys., 1960, v. 31, N 11, p. 107—121.
- [2] Гальперин Ю. М., Лайхтман Б. Д. — ФТТ, 1971, т. 13, в. 7, с. 2102—2108.
- [3] Дрейзин Ю. А., Дыхне А. М. — ЖЭТФ, 1972, т. 63, в. 1, с. 242—260.
- [4] Квятковский О. Е. — ЖЭТФ, 1983, т. 85, в. 1, с. 207—223.
- [5] Гальперин Ю. С., Эфрос А. Л. — ФТТ, 1969, т. 11, в. 8, с. 2301—2304.
- [6] Гитис М. Б., Чайковский И. А. Распространение звука в легированных полупроводниках. Кишинев. 1986. 228 с.

Институт прикладной физики  
АН МССР  
Кишинев

Получено 1.12.1987  
Принято к печати 16.05.1988

*ФТП, том 22, вып. 10, 1988*

#### ОРИЕНТАЦИОННАЯ ЗАВИСИМОСТЬ ПРОХОДНЫХ ВОЛЬТАМПЕРНЫХ ХАРАКТЕРИСТИК ПЛАНАРНЫХ $p^+ - n - n^+$ -СТРУКТУР НА ОСНОВЕ Si

Гузь В. Н., Жадько И. П., Кучерук А. Д., Романов В. А.

В многодолинных полупроводниках типа Ge и Si уже умеренные электрические поля индуцируют при низких температурах заметную анизотропию электропроводности и, следовательно, могут приводить к анизотропным размерным эффектам (АРЭ), развитие которых при прочих равных условиях определяется кристаллографической ориентацией образца [1, 2]. Это обстоятельство обычно